

اعمال پوشش‌های کامپوزیتی Ni-P-PTFE به روش آبکاری الکتریکی و بررسی

مقاومت به خوردگی و سایش آنها

رحمان جعفرزاده حسنلویی، میرقاسم حسینی

آزمایشگاه پژوهشی علوم و تکنولوژی الکتروشیمی، گروه شیمی فیزیک، دانشکده شیمی، دانشگاه تبریز

احسان شالجی، بهزاد آشت

گروه مهندسی مواد، دانشکده مهندسی مکانیک، دانشگاه تبریز

(دریافت مقاله: ۱۴۰۰/۱۰/۳۰ - پذیرش مقاله: ۱۴۰۱/۱۰/۳۰)

چکیده

نتایج تحقیقات مختلف نشان می‌دهد که پوششده‌ی یکی از راههای موثر در افزایش مقاومت به خوردگی و سایش زیرلایه‌های فلزی می‌باشد. همچنین کامپوزیت کردن پوشش اعمالی با استفاده از نانوذرات می‌تواند موجب محافظت هرچه بیشتر زیرلایه شود. در این پژوهش با استفاده از فرایند آبکاری الکتریکی و ذرات PTFE (با غلظت‌های ۱۰، ۲۰ یا ۳۰ گرم بر لیتر)، پوشش‌های Ni-P-PTFE تهیه و خواص خوردگی و سایش آنها مورد بررسی قرار گرفته و با پوشش‌های Ni-P مقایسه شد. با استفاده از تصاویر میکروسکوپی الکترونی روبشی (SEM) و روش پراش انرژی اشعه ایکس (EDS) به مطالعه مورفولوژی سطح و آنالیز عنصری پوشش‌های مذکور پرداخته و در نهایت با استفاده از تکنیک‌های پتانسیل مدار باز (OCP)، طیف سنجی امپدانس الکتروشیمیابی (EIS) و پلاریزاسیون تألفی میزان مقاومت به خوردگی پوشش‌های حاصل در محلول NaCl $3/5$ wt.% مورد ارزیابی قرار گرفت. میکرو سختی و آزمون پین روی خواص تربیوپلاستیکی پوشش‌ها مورد بررسی قرار گرفت. نتایج حاصل از مطالعات SEM و EDS تشکیل نانوکامپوزیت‌ها را به اثبات رساندند. مطالعات الکتروشیمیابی نیز نشان دادند که پوشش‌های Ni-P-PTFE در غلظت ۲۰ g/L PTFE از لحاظ الکتروشیمیابی بیشترین مقاومت به خوردگی را دارند. میکرو سختی نیز با افزایش ذرات PTFE در پوشش روند کاهشی داشته و به کمترین مقدار خود رسید. با استفاده از آزمون سایش کمترین ضرب اصطکاک بدست آمده در پوشش‌های کامپوزیتی در غلظت ۲۰ گرم بر لیتر حاصل شد که قابلیت کاربرد ذرات PTFE به عنوان یک روانکار جامد در پوشش‌های Ni-P را نشان می‌دهد.

واژه‌های کلیدی: آبکاری الکتریکی، پوشش کامپوزیتی، PTFE، سایش، خوردگی، EIS

Applying Ni-P-PTFE composite coatings by electrodeposition method and investigating their corrosion and wear resistance

Rahman Jafarzadeh Hasanolooi, Mir Ghasem Hosseini

Department of Physical Chemistry, Electrochemistry Research Laboratory, University of Tabriz, Tabriz

Taher Rabizadeh

Department of Materials Engineering, Faculty of Mechanical Engineering, University of Tabriz, Tabriz

Ehsan SHalchi, Behzad Abasht

Space Exploration Research Center, Tabriz, Iran

(Received 20 January 2022, accepted 20 June 2022)

Abstract

The results of various research activities show that coating is one of the effective ways to increase the corrosion resistance and wear of metallic substrates. Synthesizing composite coatings using nanoparticles can also further protect the substrate. In this study, using electroplating process and PTFE particles (with concentrations of 10, 20 or 30 g / l), Ni-P-PTFE coatings were prepared and their corrosion and abrasion properties were investigated and compared with Ni-P coating. Using scanning electron microscopy (SEM) and X-ray diffraction (EDS) methods, the surface morphology and elemental composition of the coatings were studied and finally, using open circuit potential (OCP) techniques, electrochemical impedance spectroscopy (EIS) and polarization techniques, the corrosion resistance of the resulting coatings were evaluated in NaCl solution. Microhardness and pin on disk tests were also utilized to investigate the effect of PTFE concentration on the tribological properties of the coatings. The results of SEM and EDS studies confirmed the formation of nanocomposites. Electrochemical studies also showed that Ni-P-PTFE coatings, at a concentration of 20 g/L PTFE, had the highest electrochemical corrosion resistance. Microhardness decreased with increasing PTFE particles in the coating and reached its lowest value in 20 g/l PTFE . Using the wear test, the lowest coefficient of friction obtained in composite coatings obtained at a concentration of 20 g/l, which shows the applicability of PTFE particles as a solid lubricant in Ni-P coatings.

Keywords: electroplating, composite coatings, PTFE, wear, corrosion, EIS.

Corresponding author: mg-hosseini@tabrizu.ac.ir.

مقدمه

اصطکاک را کاهش می‌دهند و روانکارهای جامد نامیده می‌شوند متاخر شده است [۱۱و۱۰].

در سال‌های اخیر تحقیقاتی بر روی قابلیت استفاده از ذراتی مانند WS_2 و MoS_2 به عنوان روانکارهای جامد در پوشش‌ها انجام گرفته است [۱۲و۱۳]. مشاهده شده است که اگر از روانکارهای جامد در سطح قطعات تحت لغزش استفاده شود یک لایه میان دو سطح در لغزش ایجاد شده و مانع از تماش و جوش خوردن ناهمگونی‌های سطحی آنها با یکدیگر می‌شود. برخی از مواد جامد دارای استحکام برشی کمی بوده و هنگامی که بر روی یک سطح لغزنه ده قرار می‌گیرند، سایش و اصطکاک را به شدت کاهش می‌دهند. لذا استفاده از روانکارهای جامد بصورت پوشش‌های محافظ ضروری به نظر می‌رسد [۱۴و۱۵]. به عنوان مثال نتایج تحقیقات نشان داده است که در حضور WS_2 ضریب اصطکاک پوشش‌های Ni-P بدست آمده به روش آبکاری الکتریکی از ۰/۵ به ۰/۱۷ کاهش می‌یابد [۱۲]. وجود MoS_2 در این نوع پوشش‌ها نیز میزان ضریب اصطکاک را از ۰/۴۵ به ۰/۰۵ کاهش می‌دهد [۱۳]. یکی دیگر از انواع روانکارهای جامد PTFE می‌باشد که تاثیر آن بر کاهش ضریب اصطکاک پوشش‌های مختلف مانند Ni-W مورد بررسی قرار گرفته است [۱۶]. اما تاثیر حضور این ماده در زمینه پوشش‌های Ni-P به طور جامع مورد مطالعه قرار نگرفته است. همچین غلظت بهینه‌ای از PTFE که در آن شرایط حداقل میزان مقاومت به خوردگی یا مقاومت به سایش و سختی مشاهده شود هنوز بررسی نشده است.

در این پژوهش، غلظت‌های مختلفی از PTFE در حمام‌های آبکاری Ni-P-PTFE، بر روی زمینه فولادی رسوب داده شدند و مشخصات کلی پوشش‌ها نظری ترکیب شیمیایی، میزان مشارکت PTFE در پوشش، مورفولوژی سطح و سختی پوشش مورد ارزیابی قرار گرفت. در ادامه اثر درصد مشارکت PTFE در پوشش بر رفتار خوردگی پوشش‌ها با استفاده از آزمون پلاریزاسیون

اعمال انواع پوشش‌های محافظ یکی از راههای کاهش هزینه‌های ناشی از خوردگی و سایش در صنایع مختلف می‌باشد [۱]. از میان انواع روش‌های پوشش‌دهی مانند الکترولیس یا فسفاته کردن، آبکاری الکتریکی و ایجاد پوشش‌های مختلف مانند نیکل در صنعت کاربرد بسیاری داشته است [۲و۳]. از سال ۱۸۴۳ میلادی که اولین ترکیب شیمیایی حمام آبکاری الکتریکی نیکل در مقیاس صنعتی از محلول نیکل – سولفات آمونیوم معرفی شد، تا به امروز تحقیقات زیادی راجع به بهبود خواص این پوشش‌ها پیشنهاد شده است زیرا این پوشش‌ها کاربردهای وسیعی در صنایع مختلف از قبیل هواپضا، خودروسازی، صنایع شیمیایی مانند نفت و گاز پیدا کرده‌اند [۳]. از مهم‌ترین راهکارها جهت بهبود خواص می‌توان به افزودن عنصر ثانویه مانند آهن [۴] یا فسفر [۵] و یا کامپوزیت کردن پوشش از طریق وارد کردن ذراتی با اندازه میکرونی یا نانو مانند SiC به زمینه پوشش نیکل اشاره کرد [۶و۷]. به عنوان مثال گزارش شده است که با افزودن ۱۰ گرم بر لیتر اکسید گرافن به حمام آبکاری نیکل، سرعت خوردگی به میزان ۱/۵ برابر کاهش یافته است [۸]. وجود همزمان عنصر آهن و ذرات سرامیکی TiC در ساختار پوشش نیکل نیز موجب ایجاد چگالی جریان خوردگی ۰/۷۹ میکرو آمپر بر دسی متر مریع شده است [۹].

مطالعات مختلف نشان داده است که سایش و اصطکاک جزء فرایندهای پیچیده بوده که مقادیر آنها بستگی به خواص سطحی دو جسم تحت لغزش، شرایط تربیولوژیکی و محیط پیرامون آنها دارند. بسیاری از سیستم‌های دینامیکی توسط مایعات روانکار مختلف، روانکاری می‌شوند. اما یکی از معایب مهم مایعات روانکار، عدم قابلیت استفاده از آنها در دماهای بالا و یا تحت خلا می‌باشد زیرا اینگونه مواد عموماً عملکرد خود را در این شرایط از دست می‌دهند. بنابراین عمدۀ تحقیقات بر روی دسته دیگری از مواد که ضریب

گرفتند. در مرحله چربی‌گیری الکترودهای آماده شده به مدت ۱۵ دقیقه در محلول چربی‌گیری قرار داده شدند. سپس الکترودها توسط آب مقطر شستشو و در محلول اسیدشویی به مدت ۱۵ ثانیه قرار داده شدند تا سطح آنها فعال شود. جهت بررسی خواص پوشش‌ها از روش‌های مختلف استفاده شد. برای بررسی مورفولوژی و ریزساختار پوشش‌ها از دستگاه میکروسکوپ روبشی MIRA3 FEG-SEM مدل گسیل میدانی (FESEM) مدل ۳۷ st ساخت شرکت Tescan کشور چک در بزرگنمایی‌های مختلف استفاده گردید. از طریق آنالیز EDS میزان درصد عنصر موجود در پوشش‌ها نیز تعیین شدند. آزمون میکرو سختی سنجی با استفاده از دستگاه Z-HV ۱۰۰۰ شرکت PACE Technologies با فرو رونده ویکرز در وسط سطح مقاطع پوشش‌ها در بار اعمالی ۵۰ گرم به مدت ۱۵ ثانیه انجام شد.

جدول ۱. ترکیب شیمیایی و شرایط حمام آبکاری Ni-P-PTFE

صفحات ۳۷ st	کاتد
۲۰	زمان (دقیقه)
۸-۹	pH
۴۵-۵۵	دما (°C)
۰/۰۳۳g/g PTFE	CTAB
۳۰-۰g/L	PTFE
۴۵g/L	اسیدبوریک
۴۵g/L	نیکل کلرید
۲۰۰g/L	نیکل سولفات
۲۵g/L	سدیم هیپوفسفیت مونوهیدراته

برای هر نمونه ۳ اثر ویکرز ایجاد شد و میانگین این عدد به عنوان ریزساختی پوشش گزارش شد. آزمون سایش با استفاده از دستگاه پین روی دیسک، شرکت

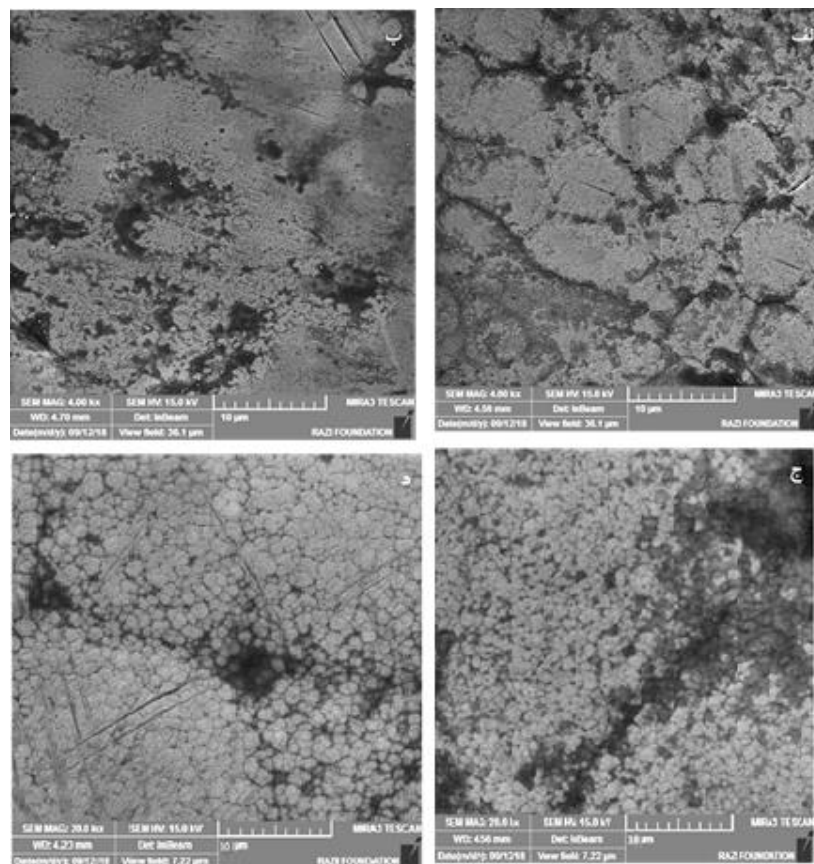
تافل و روش طیف نگاری امپدانس الکتروشیمیای (EIS) در محیط ۳/۵ درصد وزنی کلرید سدیم مورد مطالعه قرار گرفت. در نهایت رفتار تربیولوژیکی پوشش‌ها با استفاده از آزمون پین بر روی دیسک مورد بررسی قرار گرفت و اثر درصد مشارکت ذرات PTFE در پوشش بر ضریب اصطکاک مشخص شد.

مواد و روش آزمایش

در این پژوهش فرایند آبکاری، پس از تهیه و آماده سازی زیرلایه‌هایی از جنس فولاد ۳۷ st و محلول آبکاری، در یک بشر شیشه ای ۱۰۰ میلی لیتری، انجام گرفت. آند که قطب مثبت حمام آبکاری می‌باشد، از جنس نیکل با مساحت هندسی ۲۰ سانتی متر مربع انتخاب و زیرلایه‌های آماده سازی شده به عنوان کاتد که قطب منفی سل خواهد بود، استفاده شدند. دمای حمام‌های آبکاری در محدوده ۴۰-۶۰ درجه سانتیگراد تنظیم شد. شرایط حمام آبکاری جهت اعمال پوشش‌ها در جدول ۱ آورده شده است. هر یک از صفحات برش داده شده به ابعاد ۱۵ سانتیمتر مربع به یک سیم مسی میله‌ای به طول ۱۵ سانتیمتر لحیم کاری شدند. جهت جلوگیری از خطاهای آزمایش در طی آزمایش‌های خوردنگی و آبکاری قطعات برش داده شده نیز توسط پلی استر مایع در قالب‌های مخصوص مانت شدند. پس از سفت شدن مانت و خارج کردن الکترودها از قالب، الکترودهای حاضر به ترتیب با استفاده از سنباده‌های با شماره ۳۰۰۰، ۲۵۰۰، ۸۰۰، ۶۰۰، ۲۵۰۰، ۸۰۰، ۶۰۰، ۴۵۰۰، ۳۰۰۰ به صورت مکانیکی سنباده زده شدند تا سطح آنها به جلای آینه‌ای برسد. پس از آماده سازی اولیه، الکترودها در محلول چربی‌گیری که حاوی فسفات سدیم ده آبه به غلظت L/g، ۲۰g/L، کربنات سدیم به غلظت L/g، ۳۰g/L، سود به غلظت L/g، ۳۰g/L و سیلیکات سدیم به غلظت L/g، ۱۵g/L در دمای ۶۰ درجه سانتیگراد به مدت ۱۵ دقیقه شستشو داده شده و سپس در محلول پراکسید هیدروژن ۱۰٪ وزنی بعلاوه سولفوریک اسید ۱۰٪ وزنی جهت اسیدشویی قرار

کالولمل به ترتیب به عنوان الکترودهای کمکی و مرجع استفاده شدند. منحنی های پتانسیل بر حسب لگاریتم جریان با استفاده از دستگاه Origia Flex مجهر به نرم افزار OrigiaMaster5 با سرعت اسکن ۱ میلی ولت بر ثانیه رسم شد و سپس منحنی ها با استفاده از همین نرم افزار جهت پیدا کردن شبیه های آندی و کاتدی، پتانسیل خوردنگی و چگالی جریان خوردنگی آنالیز شدند. جهت مطالعات EIS، سیگنال متناوبی با دامنه پتانسیل $5mV \pm 100\text{ mHZ}$ - 100 kHz در محدوده فرکانس 100 kHz - 10 mHZ اعمال گردید. امپدانس نمونه توسط دستگاه Origia Flex و اجزاء حقیقی و موهومی امپدانس در محدوده فرکانس ذکر شده به صورت نمودار نایکوییست رسم گردید. در این روش نیز از سل سه الکترودی بکار برده شده در روش پلاریزاسیون Zview II استفاده شد. جهت آنالیز داده ها از نرم افزار استفاده شد.

تجهیز صنعت نصر (مدل ۰۳ WTC) بر اساس استاندارد ASTM G99 انجام شد. نیروی اعمالی ۵۰۰ گرم و سرعت چرخش دیسک rpm ۹۵ و مسافت طی شده ۲۰۰ متر در نظر گرفته شد. پین مورد استفاده از جنس فولاد ۵۲۱۰۰ با سختی ۶۴ راکول C است. شرایط آزمون سایش برای تمامی نمونه ها یکسان بود و سایش در دمای محیط انجام گرفت. ضریب اصطکاک با اندازه گیری نیروی شعاعی واردہ بر حسگر نیرو و ثبت مداوم آن توسط رایانه اندازه گیری شده است. برای تعیین میزان خوردنگی پوشش ها از دو روش امپدانس الکتروشیمیایی و پلاریزاسیون تألفی استفاده شده است. در روش پلاریزاسیون الکترود کار با اعمال پتانسیلی در دو طرف ناحیه آندی و کاتدی پتانسیل مدار باز پلاریزه می شود. الکترود کار نمونه فولاد آبکاری شده است در نظر گرفته شد که در داخل یک بشر ۱۰۰ میلی لیتر حاوی $\frac{3}{5}\text{M NaCl}$ قرار داده شد. الکترود پلاتین و الکترود وزنی NaCl

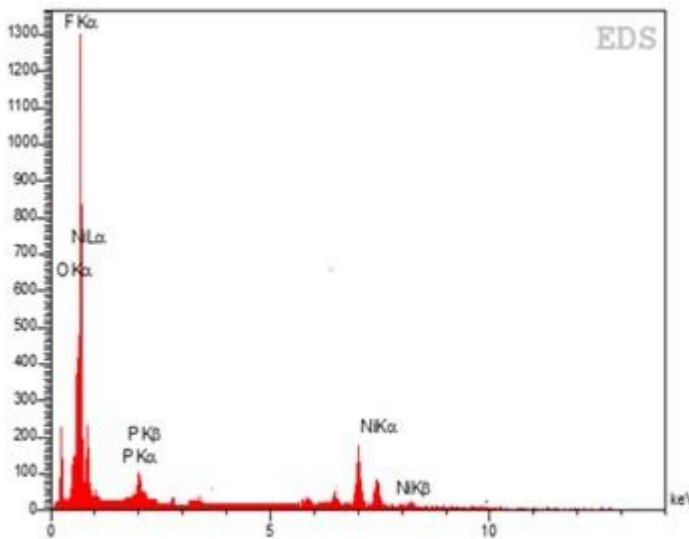


شکل ۱. تصاویر SEM پوشش های Ni-P-PTFE در حمام های حاوی غلظت های مختلفی از PTFE (الف) ۲۰ g/L، (ب) ۱۰ g/L، (ج) ۵ g/L و (د) ۳۰ g/L

Ni-P-PTFE ترسیب داده شده از محلولی با غلظت‌های مختلف از PTFE انجام گرفت. به عنوان مثال حضور پیک‌های مربوط به عناصر F و C در طیف مربوط به پوشش بدست آمده از حمام حاوی 20 g/L ذره PTFE تاییدکنندهٔ حضور ذرات PTFE در زمینهٔ پوشش‌های Ni-P می‌باشد (شکل ۲). جدول ۲ درصد عناصر موجود در پوشش‌های ترسیب داده شده را نشان می‌دهد. می‌توان مشاهده کرد که پوشش Ni-P حاوی حدود ۹ درصد وزنی فسفر می‌باشد. همچنین در حضور ۱۰ گرم بر لیتر نانوذرات مقدار فسفر به $6/22$ کاهش پیدا می‌کند و مقدار عنصر فلئور اندازه‌گیری شده $3/67$ می‌باشد. با افزایش غلظت نانوذرات PTFE از ۱۰ گرم بر لیتر به ۲۰ گرم بر لیتر مقدار عنصر F در پوشش افزایش می‌یابد اما افزایش غلظت نانو ذرات PTFE در حمام به ۳۰ گرم بر لیتر موجب کلوخه شدن ذرات در حمام می‌شود که موجب کاهش ورود ذرات به ساختار کرستالی پوشش و در نتیجه EDS کاهش میزان عنصر F تشخیص داده توسط آنالیز شده است. بطور کلی پوشش‌های Ni-P به علت داشتن فسفر در ساختارشان، بسته به میزان فسفر و شرایط ترسیب، ساختاری آمورف و یا نانوکریستالی داشته و مقاومت به خوردگی آن‌ها در مقایسه با پوشش Ni پیشرفت می‌باشد. با توجه به جدول مذکور، در پوشش‌های Ni-P و Ni-P-PTFE مقدار بهینه برای PTFE وجود دارد که این میزان 20 گرم بر لیتر می‌باشد، که در این غلظت به علت جوانه زنی سریع، کریستال‌های ریزتر شکل می‌گیرند. در نتیجه پوشش صافتر و برآق‌تری بدست می‌آید. افزایش غلظت PTFE بعد از نقطه بهینه در حمام منجر به کاهش سرعت رسوب‌گذاری می‌شود. مطابق شکل ۱ سطح پوشش Ni-P زبرتر از پوشش Ni-P-PTFE بوده و برآمدگی‌هایی با ابعاد مختلف دارد که قطر آنها از چند میکرومتر تا چند نانومتر متغیر است. اما ابعاد برآمدگی‌ها در پوشش Ni-P-PTFE کوچکتر از پوشش Ni-P بوده است.

نتایج و بحث

شکل ۱ مورفولوژی سطحی پوشش Ni-P و پوشش‌های کامپوزیتی Ni-P-PTFE را که از محلول‌هایی حاوی 10 ، 20 ، یا 30 گرم بر لیتر PTFE ترسیب داده شده‌اند، را نشان می‌دهد. پیشنهاد شده است که یک مکانیزم پنج مرحله‌ای برای همسویی ذرات کامپوزیتی با فلزات وجود دارد. در مرحله اول، ذرات PTFE در محلول، گونه‌های یونی را جذب می‌کنند. در مرحله دوم و سوم، این ذرات با همراهت و نفوذ، به سمت کاتد منتقل می‌شوند. در مرحله چهارم، بر روی سطح کاتد جذب شده، بطروریکه هنوز توسط ابر یونی احاطه شده‌اند و در مرحله آخر، ذرات در نتیجه احیای بعضی از کاتیون‌های فلزی جذب شده و درون شبکه فلزی جای می‌گیرند [۱۷]. فرق بین مورفولوژی سطح پوشش‌های Ni-P و کامپوزیتی حاوی PTFE در این است که اندازه ذرات پوشش پیزrگتر و مرز بین دانه‌ای بیشتری مشاهده می‌شود (شکل ۱، الف). در مورد پوشش‌های کامپوزیتی Ni-P-PTFE می‌توان مشاهده کرد که سطح پوشش یکنواخت‌تر، مرزدانه کمتر و اندازه ذرات کوچکتر شده است. با این اوصاف، انتظار می‌رود که مقاومت به خوردگی برای این پوشش‌ها افزایش یابد. از تصاویر پوشش‌های نانوکامپوزیتی پیداست که با افزایش غلظت PTFE و به دنبال آن پر شدن مرزهای بین دانه‌ها در پوشش، با ذرات PTFE، سطح یکنواخت شده و انتظار می‌رود نفوذ محلول خورنده به زیرلايه کمتر شود. البته تا غلظت مشخصی این یکنواختی افزایش یافته و پس از آن با تجمع بیش از حد ذرات PTFE در سطح، یکنواختی پوشش‌ها کمتر شده و سطح پوشش با جزایری از پلیمرهای تفلون پوشیده شود، که باعث زبری سطح شده است. با توجه به تصاویر، در بین پوشش‌های نانوکامپوزیتی، غلظتی که تا آن حد پوشش یکنواخت شده و بعد از آن، از یکنواختی پوشش کاسته می‌شود، غلظت 20 g/L PTFE (شکل ۱، ج) می‌باشد. آنالیز EDS برای پوشش‌های Ni-P و پوشش کامپوزیتی



شکل ۲. طیف EDS پوشش کامپوزیتی Ni-P-PTFE اعمال شده از حمام با ۲۰ گرم بر لیتر PTFE

جدول ۲. درصد وزنی عناصر موجود در پوشش‌های Ni-P و کامپوزیتی Ni-P-PTFE

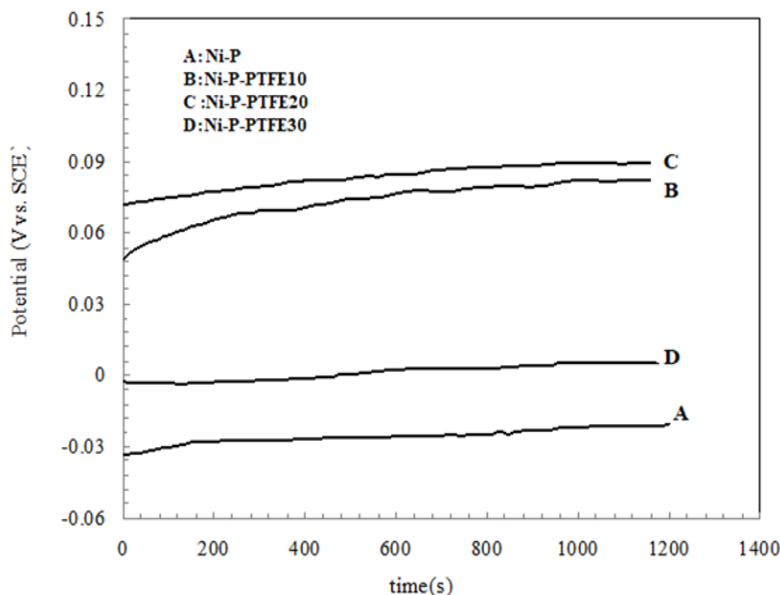
	Ni (% wt)	F (% wt)	O (% wt)	P (% wt)	C (% wt)
Ni-P	۹۱/۵۴	-	۰/۵۶	۹/۰۲	-
Ni-P-PTFE (۱۰ g/L)	۶۹/۳۵	۳/۶۷	۳/۹۵	۶/۸۱	۲۰/۱۷
Ni-P-PTFE (۲۰ g/L)	۶۱/۹۶	۴/۹۶	۱/۰۷	۶/۲۲	۲۶/۸۶
Ni-P-PTFE (۳۰ g/L)	۷۴/۵۹	۳/۷۷	۲/۸۳	۷/۲۵	۱۱/۵۶

(۲) جذب یون‌های هیپوفسفیت و تشکیل یک لایه محافظه که از انحلال اتم‌های نیکل در سطح جلوگیری می‌کند (۳) با انحلال اولیه اتم‌های نیکل یک لایه غنی از فسفر در سطح ایجاد می‌شود که از انحلال نیکل از لایه‌های زیرین جلوگیری می‌کند [۱۸]. همچنین بر اساس این منحنی، پوشش کامپوزیتی حاصل از حمام شامل ۲۰ g/L PTFE مثبت ترین مقدار OCP را دارد و این موضوع نشان‌دهنده مقاومت به خوردگی بالای این پوشش در مقایسه با پوشش‌های دیگر می‌باشد. بر اساس جدول ۲ بیشترین میزان PTFE همسوپ شده در پوشش‌های کامپوزیتی

شکل ۳ تغییرات پتانسیل مدار باز (OCP) با زمان را برای پوشش‌های Ni-P و کامپوزیتی Ni-P-PTFE در محلول ۳/۵ %wt. NaCl نشان می‌دهد. مشاهده می‌شود که با افزایش PTFE، پتانسیل مدار باز نمونه‌ها مثبت‌تر می‌شود، که این موضوع احتمالاً بدليل افزایش مقاومت به خوردگی پوشش‌های کامپوزیتی حاصل در مقایسه با پوشش Ni-P است. مکانیزم‌های متنوعی برای مقاومت به خوردگی بالای پوشش‌های نیکل - فسفر ارائه شده است به عنوان مثال (۱) تشکیل لایه محافظه فسفات نیکل که به عنوان یک سد در برابر نفوذ محلول‌های خورنده عمل می‌کند،

پوشش‌های فلزی در اثر کامپوزیت کردن با نانوذرات در تحقیقات دیگر نیز مشاهده است [۱۹].

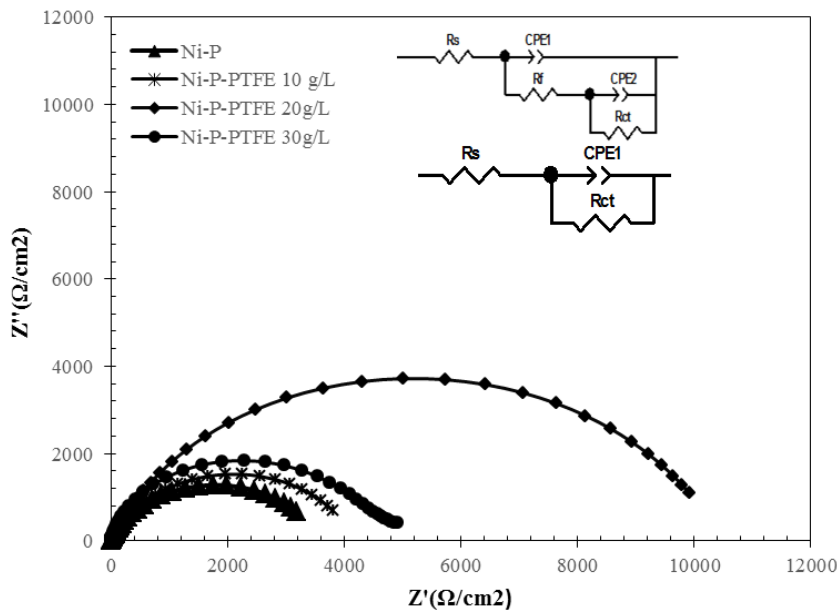
مربوط به حمام شامل 20 g/L PTFE می‌باشد که به دلیل ایجاد یک سد محافظتی در برابر نفوذ یون‌های خورنده به درون پوشش زمینه و زیرلایه موجب بالا رفتن پتانسیل مدار باز پوشش شده است. افزایش پتانسیل مدار باز



شکل ۳. نمودار تغییرات پتانسیل مدار باز با زمان پوشش‌های $3/5\text{ wt.\% NaCl}$ در محلول Ni-P-PTFE و نانوکامپوزیت Ni-P

مقاومت انتقال بار برای تمام پوشش‌های نانوکامپوزیتی، بیشتر از پوشش Ni-P می‌باشد. افزایش مقاومت به خوردگی پوشش‌های کامپوزیتی در مقایسه با پوشش‌های آلیاژی Ni-P خالص می‌توان پیشنهاد داد. دلیل اول این است که همسوبی ذرات PTFE، پوششی یکنواخت و متراکمی را ایجاد می‌کند، به طوری که ترکها و خلل و فرج پوشش بسیار ناچیز بوده و الکترولیت نمی‌تواند از پوشش عبور کرده و خوردگی فلز زیرلایه را تسريع کند. دلیل دوم این است که PTFE، یک ذره غیر قطبی است پس وجود این ذرات در پوشش موجب می‌شود که سطح فعال فلزی کمتری در اختیار محلول خورنده قرار گیرد و در نتیجه مقاومت به خوردگی کامپوزیت افزایش یابد [۱۶].

شکل ۴ نمودارهای نایکویست همراه با مدار معادل پوشش‌های Ni-P و نانوکامپوزیت Ni-P-PTFE بدست آمده در محلول $3/5\text{ wt.\% NaCl}$ را نشان می‌دهد. این دو مدار معادل پیشنهاد شده بیشترین تطابق را با نتایج تجربی دارد. با مقایسه داده‌های امپدانس خلاصه شده در جدول ۳ و نمودارهای نایکویست می‌توان دریافت که در حضور PTFE و با افزودن غلظت آنها از 10 تا 20 گرم بر لیتر، مقاومت انتقال بار (Rct) که نشانده‌نده مقاومت پوشش در برابر خوردگی می‌باشد، افزایش شدیدی پیدا می‌کند و با افزایش بیشتر غلظت نانوذرات، مقادیر این پارامتر به تدریج کاهش می‌یابد. به طور کلی به دلیل صاف بودن پوشش‌های نانوکامپوزیتی نسبت به پوشش Ni-P، مقادیر



شکل ۴. نمودارهای نایکویست برای پوشش‌های Ni-P و پوشش‌های کامپوزیتی Ni-P-PTFE در محلول ۳/۵ wt.% NaCl

جدول ۳. مقادیر عناصر مدار معادل بدست آمده از برازش نمودارها مربوط به نمودارهای نایکویست برای پوشش‌های Ni-P و پوشش‌های کامپوزیتی ۳/۵ wt.% NaCl در محلول Ni-P-PTFE

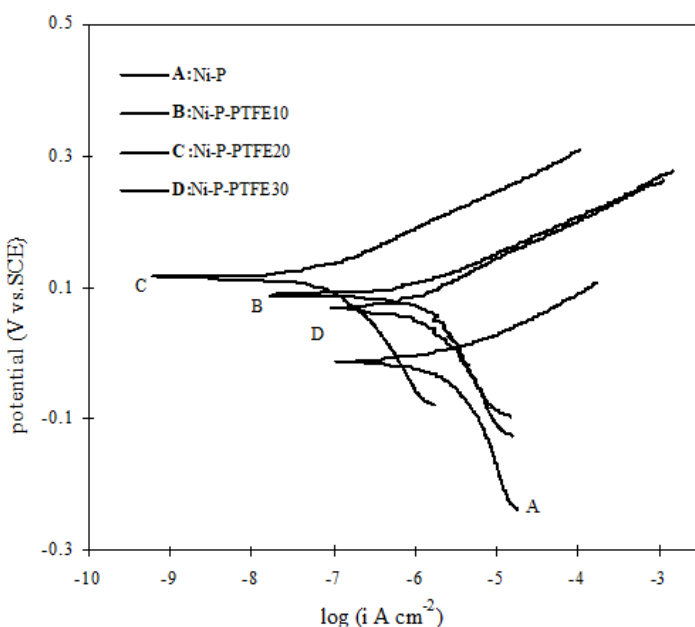
Element	Ni-P	Ni-P-PTFE(۱۰ g/L)	Ni-P-PTFE(۲۰ g/L)	Ni-P-PTFE(۳۰ g/L)
R_s	۷/۵۷۲	۷/۳۷۶	۱۰/۴۱	۷/۶۰۳
CPE _T -T	۰/۰۰۰۰۵۶۲	۰/۰۰۰۰۳۸۹	۰/۰۰۰۰۱۰۸	۰/۰۰۰۰۳۰۹
CPE _T -P	۰/۷۹۲	۰/۸۹۷	۰/۸۹۳	۰/۸۷۲
R_f	۳۵۷۵	۲۶۷/۵	۳۲۴/۹	۲۵۱
CPE _f -T	-	۰/۰۰۰۰۷۳۹	۰/۰۰۰۰۱۹۳	۰/۰۰۰۰۲۱۳
CPE _f -P	-	۰/۷۷۰۳	۰/۷۱۲	۰/۰۴۳۸
$R_f (\Omega \text{ cm}^2)$	-	۳۸۹۰	۱۰۱۴۱	۵۵۶۹

پتانسیل خوردگی (E_{corr}) و دانسیته جریان خوردگی (i_{corr}) این پوشش‌ها آورده شده است. با توجه به داده‌ها می‌توان نتیجه گرفت که کمترین جریان خوردگی و بیشترین مقاومت خوردگی مربوط به پوشش ترسیب شده از محلول حاوی ۲۰ g/L پلی تترا فلورواتیلن می‌باشد. در این غلظت، هسته زایی سریع بوده و سرعت رشد کریستال‌ها کاهش یافته است. این خود موجب صاف و یکنواخت‌تر

منحنی‌های پلاریزاسیون پوشش‌های Ni-P و نانوکامپوزیتی Ni-P-PTFE در محلول ۳/۵ %wt NaCl در شکل ۵ نشان داده شده است. همانطور که در شکل دیده می‌شود، افزایش غلظت PTFE باعث کاهش دانسیته جریان خوردگی پوشش‌های نانوکامپوزیتی و جابجایی پتانسیل خوردگی به سمت مقادیر مثبت‌تر و افزایش مقاومت به خوردگی این پوشش‌ها شده است. در جدول ۴ مقادیر

اندازه‌گیری‌های پلاریزاسیون، نتایج مطالعات EIS را تایید می‌کند.

شدن پوشش شده و افزایش مقاومت به خوردگی آن نسبت به پوشش‌های دیگر می‌شود. به این ترتیب نتایج



شکل ۵. منحنی پلاریزاسیون تافلی پوشش‌های Ni-P و Ni-P-PTFE در محلول ۳/۵ wt.% NaCl با سرعت اسکن ۰.۱mV S^{-1}

جدول ۴. مقادیر E_{corr} و i_{corr} پوشش‌های Ni-P و کامپوزیتی Ni-P-PTFE در محلول ۳/۵ wt.% NaCl

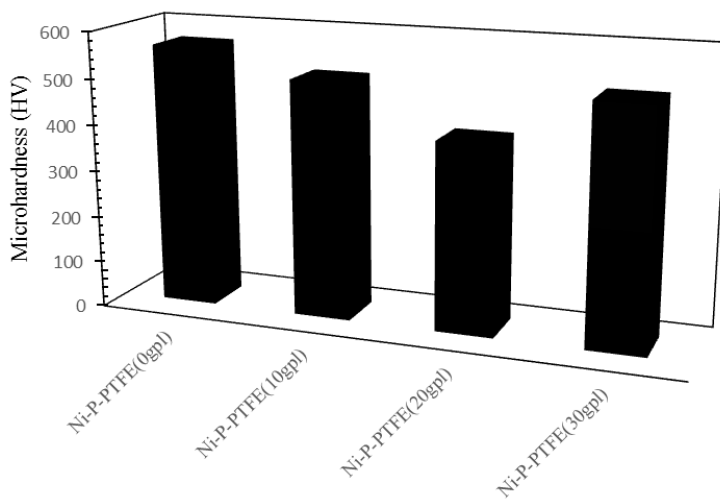
	E_{corr} (mV vs. SCE)	i_{corr} (A cm^{-2})
Ni-P	-۱۱/۲۳	$۵/۰ \times 10^{-6}$
Ni-P-PTFE (۱۰g/L)	۸۹/۰۶	$۱/۰ \times 10^{-6}$
Ni-P-PTFE (۲۰g/L)	۱۱۶/۴۷	$۱/۰ \times 10^{-7}$
Ni-P-PTFE (۳۰g/L)	۶۹/۹۲	$۱/۰ \times 10^{-8}$

پوشش میکرو سختی دوباره افزایش یافته است. ذرات نرم مثل PVDF، PTFE و ... سختی پوشش کامپوزیتی را کاهش می‌دهند و سختی با افزایش کسر حجمی ذرات روانکار در پوشش کاهش می‌یابد که دلیل ان افزایش تغییرپلاستیک پوشش به دلیل وجود ذرات نرم در پوشش می‌باشد. این روند در مورد تغییرات میکروسختی در

باتوجه به نتایج میکروسختی‌های بدست آمده در شکل ۶ با افزایش غلظت ذرات PTFE در پوشش سختی ابتدا کاهش یافته و به یک مقدار حداقل رسیده است و سپس روند صعودی پیدا کرده است. در مقادیر بیشینه (غلظت ۲۰g/L ، به دلیل وجود بیشترین مقدار ذرات PTFE در ساختار پوشش میکرو سختی کاهش یافته است و در غلظت ۳۰g/L به دلیل کاهش مقدار ذرات در

داده شده به روش الکتروولس نیز گزارش شده است [۱۹].

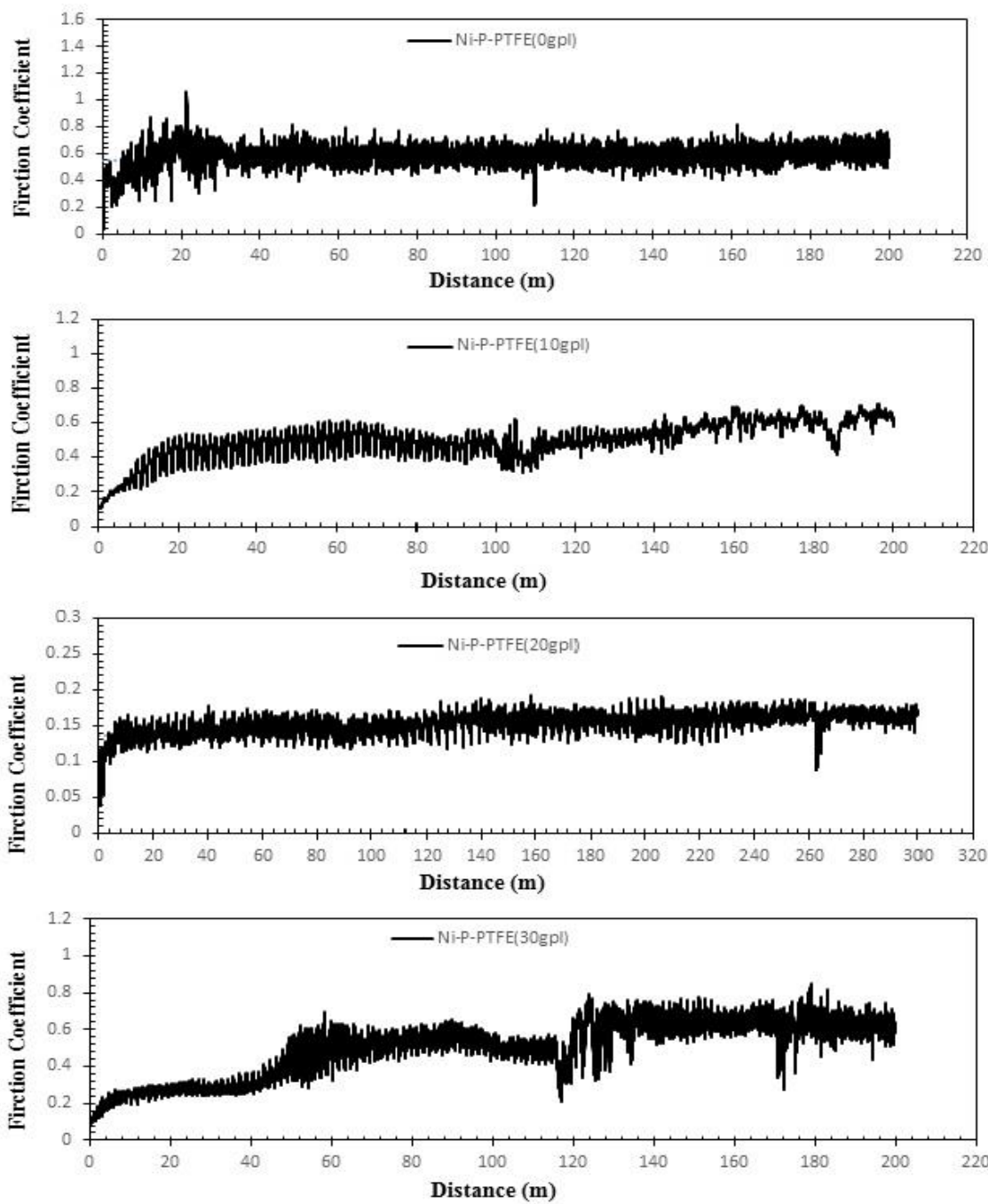
حضور ذرات PTFE در پوشش Ni-Cu-P-PTFE ترسیب



شکل ۶. اثر غلظت ذرات PTFE در حمام آبکاری بر میکروسختی پوشش Ni-P-PTFE

نیز مشاهده شده است، بطوریکه در غلظت ۲۰ گرم بر لیتر کمترین مقدار سختی بدست آمده است. در حضور ۱۰ گرم بر لیتر ذره PTFE روند کاهشی ضریب اصطکاک نیز تا مقدار $\frac{1}{4}$ مشاهده شده است. همچنین در حضور ۳۰ گرم بر لیتر بدلیل آگلومره شدن ذرات در حمام آبکاری و تجمع ذرات PTFE در نقاط مختلفی از پوشش ضریب اصطکاک روند افزایشی را از خود نشان داده است. در حالت کلی می‌توان بیان کرد که یکی از عوامل تغییرات مقاومت سایشی، ضریب اصطکاک است و تعامل دو عامل سختی و ضریب اصطکاک موجب تغییر مقاومت سایشی می‌شود. با کثار هم گذاشتن نتایج حاصل از ضریب اصطکاک نمونه‌ها دیده می‌شود که پوشش بدست آمده در حضور ۲۰ گرم بر لیتر PTFE بهترین شرایط مقاومت به سایش را دارد. به طور مشابه بهبود مقاومت به سایش پوشش‌های برنز آبکاری الکتریکی شده در حضور ذرات PTFE نیز گزارش شده است [۲۰].

برای بررسی مقاومت به سایش و ضریب اصطکاک پوشش‌های ایجاد شده با غلظت‌های مختلف از PTFE آزمایش پین بر دیسک بر روی نمونه‌ها انجام گرفت. نتایج مربوط به این آزمایش برای بررسی تاثیر غلظت PTFE بر میزان سایش و ضریب اصطکاک درادامه آورده شده است. با توجه به شکل ۷ کمترین ضریب اصطکاک بدست آمده مربوط به پوشش کامپوزیتی بدست آمده از حمام ۲۰ گرم بر لیتر PTFE می‌باشد. همانطور که انتظار می‌رود با اضافه شدن ذرات تقویت کننده درون پوشش کامپوزیتی، ضرایب اصطکاک از حدود $\frac{1}{6}$ در غیاب ذرات PTFE به حدود $\frac{1}{15}$ در پوشش کامپوزیتی بدست آمده از حمام ۲۰ گرم بر لیتر PTFE کاهش پیدا کرده است. در این خصوص می‌توان بیان کرد که از آنجایی که PTFE یک ذره‌ی نرم می‌باشد بعنوان یک عامل روانکار جامد عمل کرده و ضریب اصطکاک را کاهش داده است. این موضوع در مورد کاهش سختی پوشش‌های کامپوزیتی



شکل ۷. تغییرات ضریب اصطکاک و مقاومت سایشی پوشش PTFE حاوی مقادیر مختلف ذرات Ni-P-PTFE بر حسب مسافت سایش.

به میزان ذرات PTFE دارد. همچنین مطالعات الکتروشیمیایی و تربولوژیکی نیز نشان دادند که پوشش‌های کامپوزیتی Ni-P-PTFE از لحظه های ۲۰ از ذرات PTFE، از لحظه الکتروشیمیایی بیشترین مقاومت به خوردگی را دارند. بررسی میکروسختی

نتیجه‌گیری
پوشش‌های Ni-P-PTFE از طریق آبکاری الکتریکی در حمام وات، در حضور عامل فعال سطحی کاتیونی CTAB و غلظت های مختلفی از PTFE تهیه شدند. مشاهده شد که مورفولوژی و خواص الکتروشیمیایی این پوشش‌ها بستگی

9. M. Ganji. H. Yousefnia. Z.S. Seyedraoufi. *The corrosion behavior of Ni-Fe and Ni-Fe-TiC nanoparticles deposited using pulse electrodeposition on low-carbon steel*. Journal of the Australian Ceramic Society, 7 (2022). 1-13.
10. J.-Y. Lee. D.-P. Lim. D.-S. Lim. *Tribological behavior of PTFE nanocomposite films reinforced with carbon nanoparticles*. Composites Part B: Engineering. 38 (2007) 810-816.
11. R. Kumar. H.K. Banga. H. Singh, *An outline on modern day applications of solid lubricants*. Materials Today: Proceedings. 28 (2020). 1962-1967.
12. Y. He. W.T. Sun. S.C. Wang. *An electrodeposited Ni-P-WS2 coating with combined super-hydrophobicity and self-lubricating properties*. Electrochimica Acta. 245 (2017). 872-882.
13. Y. He. S.C. Wang. F.C. Walsh. *Self-lubricating Ni-P-MoS2 composite coatings*. Surface and Coatings Technology. 307 (2016) 926-934.
14. M.D. Ger. K. Hou. L. Wang. B.J. Hwang. *The friction and wear of Ni-P-PTFE composite deposits under water lubrication*, Materials Chemistry and Physics. 77 (2003) 755-764.
15. I.R. Mafi. C. Dehghanian, *Comparison of the coating properties and corrosion rates in electroless Ni-P/PTFE composites prepared by different types of surfactants*. Applied Surface Science. 257 (2011) 8653-8658.
16. S. Sangeetha. G.P. Kalaignan. J.T. Anthuvan. *Pulse electrodeposition of self-lubricating Ni-W/PTFE nanocomposite coatings on mild steel surface*. Applied Surface Science. 359 (2015). 412-419.
17. S. Ghanbari. F. Mahboubi. *Corrosion resistance of electrodeposited Ni-Al composite coatings on the aluminum substrate*. Materials & Design. 32(2011). 1859-1864.
18. S. Li. G. Song. Y. Zhang. *Graphene-Reinforced Zn-Ni Alloy Composite Coating on Iron Substrates by Pulsed Reverse Electrodeposition and Its High Corrosion Resistance*, ACS omega, 6(2021). 13728-13741.
19. C. Yanhai.R. Lu. M. Xianliang. *Effect of PTFE Addition on the Properties of Electroless Ni-Cu-P-PTFE Deposits*. Rare Metal Materials and Engineering, 43 (2014). 1025-1030.
20. R. Balaji. M. Pushpavanam. K.Y. Kumar, *Electrodeposition of bronze-PTFE composite coatings and study on their tribological characteristics*. Surface and Coatings Technology, 201(2006). 3205-3211.

پوشش‌ها نشان داد که کمترین میکروسختی پوشش Ni-P-PTFE نیز در غلظت بهینه ۲۰ گرم بر لیتر از PTFE حاصل گردید. با استفاده از آزمون پین روی دیسک کمترین ضریب اصطکاک بدست آمده در پوشش‌های کامپوزیتی Ni-P-PTFE، در غلظت ۲۰ گرم بر لیتر حاصل شد که با افزایش بیش از حد این مقادیر بدليل کلوجه شدن ذرات و تجمع (آگلومره شدن) ذرات PTFE ضریب اصطکاک روند افزایشی را بخود گرفته است.

مراجع

1. A. Lelevic. F.C. Walsh. *Electrodeposition of NiP alloy coatings: a review*. Surface and Coatings Technology. 369 (2019) 198-220.
2. M. Hosseini. M. Abdolmaleki. S.S. Sadjadi. *Electrodeposition and mechanical properties of Ni-WB composites from tartrate bath*. Protection of Metals and Physical Chemistry of Surfaces. 46 (2010). 117-122.
3. G. A. Di Bari: *Electrodeposition of Ni, in Modern electroplating*, 5th ed., (eds. M. Schlesinger and M. Paunovic) 79–114 (2010), Hoboken, John Wiley & Sons.
4. V. Torabinejad. M. Aliofkhazraei. *Electrodeposition of Ni-Fe alloys, composites, and nano coatings—A review*. Journal of Alloys and Compounds. 691. (2017). 841-859.
5. V. Hasannaeimi. S. Mukherjee. *highly catalytic amorphous Ni-P synthesized via pulsed electrodeposition*. Advanced Engineering Materials, 21. (2019), 1801122-1801129.
6. M. Hosseini. M. Abdolmaleki. J. Ghahremani. *Investigation of corrosion resistance of electrodeposited Ni-W/SiC composite coatings*. Corrosion Engineering, Science and Technology. 49 (2014) 247-253.
7. C.R. Raghavendra. S. Basavarajappa. I. Sogalad. *Electrodeposition of Ni-nano composite coatings: a review*. Inorganic and Nano-Metal Chemistry, 48(2018.) 583-598.
8. V. Tseluikin. A. Dzhumieva.A. Yakovlev. *Electrodeposition and Corrosion Properties of Nickel-Graphene Oxide Composite Coatings*. Materials. 14(2021). 5624.